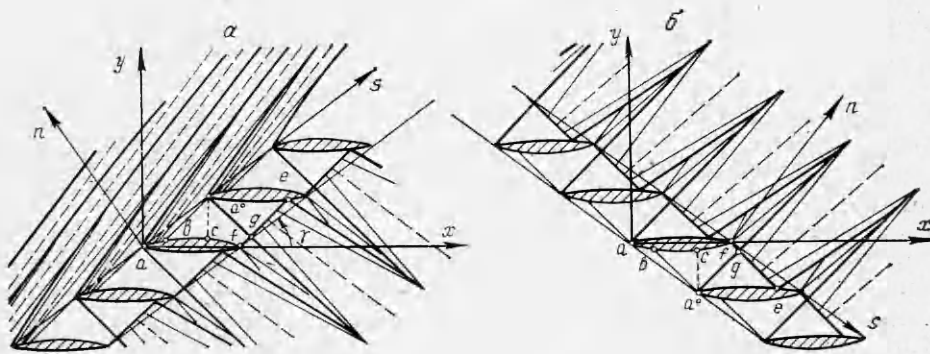


**К СТАЦИОНАРНОМУ ОБТЕКАНИЮ  
ПЛОСКОЙ РЕШЕТКИ ИДЕАЛЬНЫМ ГАЗОМ**

*А. Н. Крайко, В. А. Широносков, Е. Я. Широносова*  
(Москва)

Рассматривается стационарное безотрывное обтекание плоской решетки идеальным газом. Главное внимание уделяется режимам запирания со сверхзвуковой скоростью во всем течении и дозвуковой нормальной к фронту решетки ее компонентой. На этих режимах проявляется «направляющее воздействие» решетки (направление скорости и число Маха набегающего потока оказываются связанными), являющееся следствием независимости течения перед решеткой от условий за ней [1—5]. Распространенный способ их расчета [3, 4, 6] основан на методе характеристик с установленным течением вне решетки по временноподобной координате. Хотя при этом интегральные законы сохранения позволяют найти и параметры на бесконечности, численное построение сколь угодно дальних полей с периодическими последовательностями затухающих скачков практически невозможно. Здесь оправдано приближение нелинейной акустики (ПНА) [7, 8], весьма эффективное в подобных задачах [8—12]. Сочетание ПНА, интегральных законов сохранения и установления при счете по [13, 14] с выделением скачков реализовано в [5] для построения решения на входном участке решетки и везде перед ней. Ниже метод [5] распространен на весь поток и еще более упрощен. Поток на входном участке решетки, как и в [3], находится в приближении простой волны, в остальной ее части и в конечной полосе за ней — с помощью «сквозного» варианта схемы [13, 14], а в «дальнем поле» — в ПНА. Предложен и более простой вариант. В нем вне решетки применяется ПНА, а внутри — линейная теория. Приводятся примеры расчетов. Для всех режимов обтекания сформулированы законы подобия.

1. Схема обтекания решетки на сверхзвуковых запертых режимах изображена на фиг. 1, *a*, где  $xu$  и  $zn$  — прямоугольные координаты, жирные линии — ударные волны, а тонкие — характеристики (штриховые — нейтральные характеристики, уходящие в бесконечность). Газ течет слева направо, перед и за решеткой нормальная к ее фронту компонента скорости дозвуковая. Поэтому при  $n \rightarrow -\infty$  следует ставить одно граничное условие, например, задавать давление  $p$  или, как делается ниже, один из инвариантов Римана. В зависимости от его величины и значений параметров набегающего потока влияние этого условия ограничено слева скачком или замыкающей  $c^+$ -характеристикой  $fe$  пучка волн разрежения, исходящих из  $f$ . Если  $ba^0$  —  $c^+$ -характеристика, приходящая на переднюю



Фиг. 1

кромку верхнего профиля (речь идет об одном межлопаточном канале), то на течение перед решеткой влияет лишь отрезок  $ab$  верхней образующей нижнего профиля. Решение задачи начнем с рассмотрения течения в полуплоскости  $n > 0$  и в треугольнике  $aba^0$ , причем первоначальный анализ потока при  $n > 0$  проведем, приняв, что параметры при  $n = 0$  заданы. Затем, выяснив структуру течения при  $n > 0$ , дадим способ его построения и обоснуем возможность использования решения типа простой волны в примыкающей к  $aa^0$  части межлопаточного канала  $afga^0a$ . На рассматриваемых режимах ударные волны, уходящие вверх по потоку, обычно [5] слабы уже на передних кромках профилей. Поэтому волновые структуры перед передним фронтом можно описывать в рамках ПНА. Пусть  $\delta\varphi = \delta\varphi(n)$  — приращение  $\varphi$  на скачке на расстоянии  $n$  от переднего фронта, а  $\sigma$  — удельная энтропия. Тогда  $\delta\sigma = O(\varepsilon^3)$ , где  $\varepsilon = \delta p$ , суммарное изменение  $\sigma$  в бесконечной последовательности затухающих скачков, как показано в [11], есть  $O(\varepsilon^2)$  и перед решеткой

$$(1.1) \quad \sigma = \sigma_- + O(\varepsilon^2), \quad 2i + V^2 = 2i_- + V_-^2 \equiv 2I_-.$$

Здесь  $i$  — удельная энтальпия;  $V = |\mathbf{V}|$ ;  $\mathbf{V}$  — вектор скорости; минус приписан параметрам набегающего потока. Второе равенство справедливо всюду.

В областях непрерывности потока на характеристиках

$$(1.2) \quad \begin{aligned} dn/ds = \operatorname{tg}(\theta \pm \mu), \quad dy/dx = \operatorname{tg}(\beta \pm \mu), \quad d\theta &\equiv \mp \\ &= \mp [\sqrt{M^2 - 1}/(\rho V^2)] dp, \end{aligned}$$

где  $\theta$  и  $\beta = \theta + \gamma$  — углы, образуемые  $\mathbf{V}$  с осями  $s$  и  $x$ ;  $\gamma$  — угол установки решетки (фиг. 1, а,  $0 < \gamma \leq \pi/2$ );  $M = V/a$  и  $\mu = \arcsin(1/M)$  — число и угол Маха;  $a$  — скорость звука;  $\rho$  — плотность; верхний (нижний) знак отвечает  $c^+$  ( $c^-$ )-характеристике. В силу (1.1) и уравнений состояния  $i = i(p, \sigma)$ ,  $\rho = \rho(p, \sigma)$  множитель при  $dp$  в (1.2) с точностью до  $O(\varepsilon^2)$  включительно — известная функция только  $p$ , и третье уравнение (1.2) можно переписать в виде

$$(1.3) \quad dJ^\pm \equiv d[\theta \pm \Phi(p)] = O(\varepsilon^2) dp, \quad \Phi(p) = \int_{p_*}^p \frac{\sqrt{M^2 - 1}}{\rho V^2} dp.$$

Здесь  $J^\pm$  — инварианты Римана; звездочка приписывается критическим параметрам, отвечающим  $M = 1$  при  $\sigma = \sigma_-$ . Если характеристика пересекает скачок противоположного семейства, то, как и для  $\sigma$ , изменение отвечающего ей инварианта есть  $O(\varepsilon^3)$ , а в данной задаче суммарное изменение  $J^-$  есть  $O(\varepsilon^2)$ . Отсюда с учетом (1.3) найдем, что если  $(1 - p/p_-)$  мало (далее это предполагается), то при  $n \geq 0$

$$(1.4) \quad \theta - \theta_- - \Phi(p) + \Phi(p_-) = O(\varepsilon^2).$$

Аналогично, если  $\varepsilon_0 = \delta p_0 = \delta p(0)$  — разность  $p$  на скачке в передней точке профиля, а  $s_0$  — координата  $s$  точки линии  $y = x \operatorname{tg} \gamma$  или  $n = 0_x$  из которой выходит данная  $c^+$ -характеристика, то на ней

$$(1.5) \quad \theta + \Phi(p) = J^+(s_0) + O(\varepsilon_0^3).$$

В (1.5) остаточный член оценен в предположении, что вдоль каждой  $c^+$ -характеристики  $p$  меняется на  $O(\varepsilon_0)$ . В действительности указанное изменение есть  $O(\varepsilon_0^2)$ . Это ведет к замене  $O(\varepsilon_0^3)$  в (1.5) на  $O(\varepsilon_0^4)$ , не меняющей, однако, последующих оценок.

В силу периодичности по  $s$  с периодом  $d$ , где  $d$  — шаг решетки, рассмотрим одну полосу, опирающуюся на отрезок оси  $s$  длины  $d$  и ограниченную линиями, совмещаемыми сдвигом вдоль  $s$ , например, соседними скачками или нейтральными характеристиками. Согласно (1.1), (1.4) и (1.5), течение в ней с точностью до  $\varepsilon_0$  включительно — простая волна с прямолинейными  $c^+$ -характеристиками, каждая из которых (кроме ней-

тральной) приходит на один из скачков. Интенсивность скачка дается разностью  $p$  или  $J^+$ , т. е.  $\delta J^+$ . Правая часть (1.4), связанная с приращениями  $\sigma$  и  $J^-$  при пересечении линий тока и  $c^-$ -характеристик бесконечной последовательностью затухающих скачков, характеризует изменения левой части того же равенства во всем потоке, например, от  $n = 0$  до  $n \gg d$ . Для близких точек правые части (1.4), будучи  $O(\varepsilon^2)$ , различаются на  $O(\varepsilon^3)$ . С учетом сказанного из (1.3) — (1.5) найдем.

$$(1.6) \quad \delta p = [\rho V^2 / (2 \sqrt{M^2 - 1})] \delta J^+ + O(\varepsilon^2), \quad \delta J^+ = J^+(s^+) - J^+(s^-).$$

Здесь  $s^\pm$  — значения  $s_0$  для  $c^\pm$ -характеристик, пришедших на скачок с разных сторон.

Пусть при  $n = 0$  известно  $\chi(s) = \text{ctg}(\theta + \mu)$ . Так как рассматриваемое течение — простая волна, то все параметры — функции  $\chi$ , в частности  $J^+ = J^+(\chi)$ , где  $\chi(s)$  — периодическая функция периода  $d$ , в общем случае разрывная при  $s = kd$  ( $k = 0, \pm 1, \dots$ ). Разрывы обусловлены скачками на передних кромках профилей. При известной  $\chi(s)$  построение скачка сводится к решению уравнений [8]

$$(1.7) \quad S = s^- + n\chi(s^-) + O(\varepsilon_0^2), \quad S = s^+ + n\chi(s^+) + O(\varepsilon_0^2), \\ dS/dn = [\chi(s^-) + \chi(s^+)]/2 + O(\varepsilon^2)$$

с равномерными по  $n$  оценками погрешностей ( $s = S(n)$  — уравнение скачка). При  $S(0) = 0$  уравнения (1.7) определяют  $S$  и  $s^\pm$  как функции  $n$ . Затем по  $s^\pm$  с помощью (1.6) можно найти интенсивность скачка. После того (см. ниже) как по распределениям на  $aa^0$  определены параметры набегающего потока, течение между соседними скачками находится из (1.1), (1.4), (1.5) и уравнения почти прямолинейных  $c^\pm$ -характеристик

$$(1.8) \quad s = s_0 + n\chi(s_0) + O(\varepsilon_0^2).$$

В общем случае система (1.7) решается численно, причем вместо первых двух уравнений (1.7) удобно использовать результат их дифференцирования по  $n$  и исключения  $dS/dn$ . Результирующие уравнения имеют вид

$$(1.9) \quad ds^\pm/dn = (\chi^\mp - \chi^\pm) [2(1 + n\chi_s^\pm)]^{-1} + O(\varepsilon^2),$$

где  $\chi^\pm = \chi(s^\pm)$ , а  $\chi_s = d\chi(s_0)/ds_0$ . В рассматриваемой задаче  $\chi_s > 0$ .

При линейной зависимости  $\chi$  от  $s_0$  система (1.9) интегрируется. Действительно, вычтя второе (с нижними индексами) уравнение (1.9) из первого и умножив результат на  $\chi_s = -\delta\chi_0/d$ , получим равенство

$$d(\delta\chi)/dv = (1 + v\delta\chi_0)^{-1} \delta\chi_0 + O(\varepsilon^3) \quad (v = n/d).$$

Проинтегрировав его от  $v = 0$ , где  $\delta\chi = \delta\chi_0$ , и перейдя от  $\delta\chi$  к  $\delta p$ , найдем, что в данном случае

$$(1.10) \quad \frac{\delta p}{\delta p_0} = \left[ 1 + \frac{v\alpha\delta p_0 \text{tg } \mu}{2\rho a^2 \sin^2(\theta + \mu)} \right]^{-1} + O(\varepsilon_0^2) \quad (\alpha = \rho^3 a^4 \omega_{pp}),$$

где  $\omega = 1/\rho$ ,  $\omega_{pp} = (\partial^2 \omega / \partial p^2)_\sigma$ , величины без индексов (кроме  $\delta p$ ) можно вычислять по параметрам при  $n \rightarrow \infty$ . Для совершенного газа  $\alpha = 1 + \kappa$ , где  $\kappa$  — показатель адиабаты, и (1.10) сводится к известным формулам [5, 10, 11]. Для любого нелинейного распределения  $\chi(s_0)$  с удалением от решетки распределение  $\chi$  по  $s$  становится линейным. Поэтому если  $v$  — расстояние от соответствующего сечения, а  $\delta p_0$  — интенсивность скачка в нем, то (1.10) дает дальнейшее поле при любых распределениях на  $aa^0$ . Согласно расчетам [5], в типичных ситуациях линейная зависимость  $\chi$  от  $s$  устанавливается через три-четыре полосы по  $n$ .

Условие сохранения  $J^+$  на  $c^+$ -характеристиках, описывающее вместе с (1.1), (1.4) и (1.8) течение между скачками, эквивалентно уравнению

$$\partial J^+ / \partial n + \chi \partial J^+ / \partial s = 0.$$

Так как  $J^+ = J^+(\chi)$  с  $J^+_{,\chi} \equiv dJ^+ / d\chi = (\chi_J)^{-1} \neq 0$ , то, поделив его на  $J^+_{,\chi}$ , получим

$$(1.11) \quad \partial \chi / \partial n + \chi \partial \chi / \partial s = 0.$$

Если  $\Gamma$  — замкнутый контур плоскости  $sn$ , то (1.11) и последнее равенство (1.7), определяющее направление скачка, следуют из «интегрального закона сохранения»

$$(1.12) \quad \oint_{\Gamma} \chi ds - \frac{\chi^2}{2} dn = 0.$$

Для (1.12) справедливо «правило площадей» [7, 8], позволяющее строить разрывные решения без численного интегрирования (1.7) и (1.9).

При любом способе построения решения перед решеткой параметры с индексом минус, отвечающие равномерному набегающему потоку (теоретически при  $n \rightarrow \infty$ ), как и в [3—5], находятся по распределениям при  $n = 0$  из интегральных законов сохранения массы, импульса и энергии, записанных для замкнутого контура, образованного соседними скачками и отрезками оси  $s$  длины  $\Delta(s/d) \equiv \Delta s / d = 1$  при  $n = 0$  и  $n \rightarrow \infty$ . При  $n = 0$  параметры потока, как и всюду, удовлетворяют условию  $2i_0 + V_0^2 = 2I_0$  с константой  $I_0$  и с  $\varphi_0 = \varphi_0(\zeta) \equiv \varphi(\zeta, 0)$ . С учетом этого перечисленные законы принимают вид

$$(1.13) \quad \mathbf{R}_- = \int_0^1 \mathbf{R}_0(\zeta) d\zeta, \quad 2i_- + V_-^2 = 2I_0,$$

где  $\mathbf{R}$  — вектор с компонентами  $\rho V \sin \theta$ ,  $\rho V^2 \sin 2\theta$  и  $p + \rho V^2 \sin^2 \theta$ .

При известных правых частях система (1.13) вместе с уравнением состояния  $i = i(p, \rho)$  однозначно определяет сверхзвуковой ( $M_- \geq 1$ ) набегающий поток, в частности  $\sigma_-$  и  $J_-$ . В рассматриваемой задаче скачки образуют малые углы с  $c^+$ -характеристиками. Поэтому интенсивность каждого скачка на длине порядка  $d$  меняется на  $O(\varepsilon^2)$ , а получающаяся из-за воздействия всех скачков суммарная неравномерность по  $\sigma$  и  $J^-$  на  $aa^0$  есть  $O(\varepsilon_0^3)$ . Это согласуется с тем, что  $\delta\sigma_0$  и  $\delta J_0^-$  также есть  $O(\varepsilon_0^3)$ . Итак, с точностью до  $\varepsilon_0^2$  включительно неравномерные распределения  $\sigma$  и  $J^-$  при  $n = 0$  можно заменить константами  $\sigma_0$  и  $J_0^-$ , отличающимися от  $\sigma_-$  и  $J_-$  на  $O(\varepsilon_0^2)$ . Рост  $\sigma$  характеризует необратимые потери в скачках ( $\sigma_0 > \sigma_-$ ). Меньшая, чем во всей полубесконечной полосе, погрешность решения типа простой волны на входном участке  $afga^0a$  межлопаточного канала есть следствие его конечных (порядка  $d$ ) размеров.

Сказанное оправдывает частичную замену прямой задачи на обратную. В последней вместо  $\sigma_-$  и  $J_-$  фиксируются  $\sigma_0$  и  $J_0^-$ , задание которых наряду с  $I_0 \equiv I_-$  позволяет в приближении простой волны построить течение в  $afga^0a$ . Именно такой подход принят в [3], где, правда, задавалось не  $J_0^-$ , а точка  $b$ . По найденным распределениям на  $aa^0$  из (1.13) определяются параметры набегающего потока (при  $n \rightarrow \infty$ ), и в рамках ПНА строится возникающая перед решеткой волновая структура. Поскольку набегающий поток характеризуется четырьмя параметрами, допустим,  $p_-$ ,  $\rho_-$ ,  $M_-$  и  $\theta_-$  или  $\beta_-$ , а решение зависит только от трех констант  $I_0$ ,  $\sigma_0$  и  $J_0^-$ , то один из параметров, например  $\theta_-$ , оказывается функцией трех других. Это и означает, что на режимах запираия решетка оказывает на поток перед ней направляющее воздействие. Для совершенного газа  $I_0$  и  $\sigma_0$  дают лишь масштабы скорости, давления и плотности и для фиксирован-

ного  $x$  и заданной решетки  $\theta_- = f(M_-)$ . Указанное свойство (см. [1—4]) не связано с упрощениями, вводимыми в способ решения.

Для построения течения в оставшейся части межлопаточного канала использовалось два метода. В основе первого лежит численное решение слоями  $x = \text{const}$  по сквозному варианту разностной схемы [13, 14]. Для упрощения численного алгоритма за сечение начальных данных брался отрезок  $ca^0$ , а не заранее неизвестные ударные волны или характеристики  $a^0g$  и  $fg$ . Второй метод опирался на линеаризацию уравнений характеристик (1.2). Линеаризация выполнялась относительно сверхзвукового поступательного потока с параметрами, равными параметрам на  $ba^0$ , которым далее приписывается индекс  $b$ . После линеаризации все одноименные характеристики имеют одинаковый наклон, а на тех, которые заменяют скачки уплотнения или пучки разрежения, параметры рвутся. Вдоль характеристик (в том числе при пересечении «скачков» — характеристик противоположного семейства) сохраняются линеаризованные инварианты, введенные согласно (1.2) одним из двух способов:

$$(1.14) \quad J^\pm = \beta \pm Bp, \quad J^\pm = \beta \pm B^0\pi, \quad B = \sqrt{M_b^2 - 1} / (\rho V^2)_b, \quad B^0 = Bp_b.$$

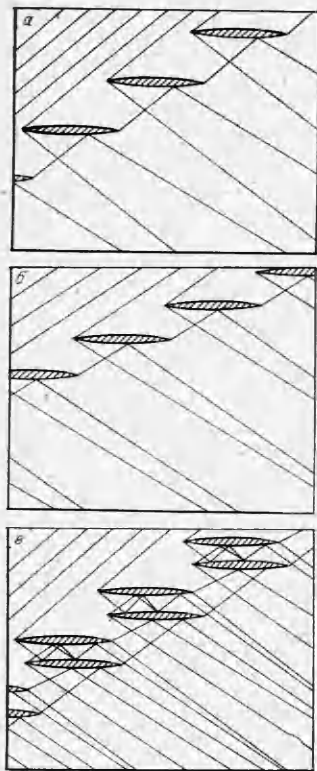
Первый способ соответствует обычной линеаризации. Второй отличается заменой  $p$  на  $\pi = \ln p$ , что, как известно [15], при умеренных сверхзвуковых скоростях снижает погрешности линейной теории. Другие уравнения (изэнтропичности, изоэнергетичности, состояния и т. п.), а также граничное условие  $\beta = \beta(x)$  на профилях не линеаризовывались. Хотя в оценках «по порядку величин» такие уточнения являются внепорядковыми, на практике они всегда повышают точность результатов.

Расчеты с использованием постоянства инвариантов (1.14) на отрезках характеристик ведутся по конечным формулам и сводятся к последовательному определению параметров на профилях и в заданных сечениях. Для тонких профилей использование линейной теории внутри решетки (в том числе на всем входном участке) не противоречит необходимости привлечения ПНА вне ее: нелинейные эффекты носят кумулятивный характер, накапливаясь на больших расстояниях.

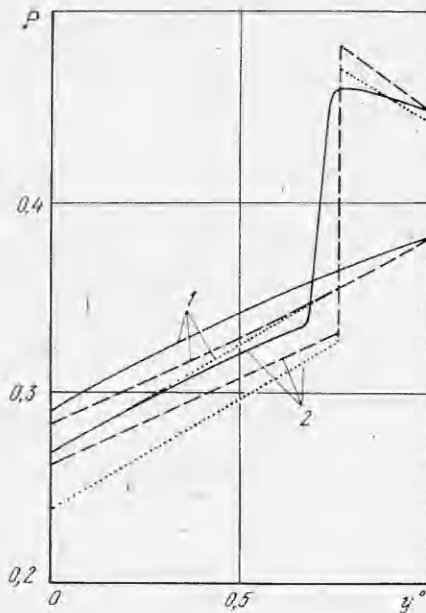
Для удобства дальнейшего изложения изменим ориентацию решетки и осей  $y$  и  $n$ , чтобы они расположились, как показано на фиг. 1, б. Точки  $a, b, \dots$  и направление осей  $x$  и  $s$  на фиг. 1, а, б совпадают, а  $J^+$  и  $J^-$  меняются ролями. Как уже отмечалось, на участок межлопаточного канала правее  $fe$  влияют условия вниз по потоку. На фиг. 1, б их влияние осуществляется заданием  $J^-$  при  $n \rightarrow \infty$ . Проще и здесь частично обратит задачу, задав не  $J_+^-$ , а  $J_0^-$ . Если начальная (при  $n = 0$ ) интенсивность скачков, уходящих вниз по потоку, сравнительно велика и нельзя применять линейную теорию, а вблизи  $n = 0$  — ПНА, то в полосе  $0 \leq n \leq n_0$  за решеткой течение рассчитывается методом [13, 14] с установлением по  $x$ . При этом  $J^-$  фиксируется на линии тока, идущей из  $f$ , а для установления в типичных примерах достаточно трех шагов решетки. Обычно же при счете слоями в обратной постановке тем же способом рассчитывается область, захватывающая лишь чуть больше одного шага. Это делается для того, чтобы на линии  $n = n_0 > 0$  сформировать начальные распределения для ПНА и определения (по (1.13) с индексом плюс вместо минуса) параметров далеко вниз по потоку. При линейном подходе требуемые распределения получаются на заднем фронте.

К отличительным особенностям течения за решеткой следует отнести, во-первых, то, что энтропия  $\sigma_+$  из-за потерь в скачках превосходит  $\sigma_0$ . Во-вторых, за решеткой слабые скачки одноименного семейства обычно пересекаются. Это, однако, не усложняет анализа, так как в ПНА такие пересечения ведут к слиянию скачков без появления особенностей другого семейства. В итоге вдали от заднего фронта по-прежнему верна формула (1.10).

2. Описанные в п. 1 подходы были реализованы на ЭВМ БЭСМ-6 в программах, приспособленных для расчета обтекания одиночных и так



Фиг. 2



Фиг. 3

называемых биплановых решеток. Возможности этих программ демонстрируют примеры, представленные на фиг. 2. На ней для двух одиночных (фиг. 2, а, б) и одной биплановой (фиг. 2, в) решеток, симметричные двойковы-

пуклые профили которых образованы дугами окружностей радиуса  $r/d = 5$  при длине хорды  $l/d = 1$ , жирными линиями нанесены скачки, возникающие при обтекании совершенным газом с  $\kappa = 1,4$ . Биплановая решетка (фиг. 2, в) образована двумя надвинутыми друг на друга решетками фиг. 2, а. Поток за всеми решетками на фиг. 2 определялся заданием правого инварианта на ее заднем фронте:  $J^+ = 2,08$ . В случае фиг. 2, а, в  $\gamma = 30^\circ$ , а в случае фиг. 2, б  $\gamma = 20^\circ$ . Рассчитанные режимы характеризовались следующими значениями числа Маха и угла  $\beta$  набегающего потока: фиг. 2, а, в —  $M_- = 1,7$ ,  $\beta_- = 4,15^\circ$ ; фиг. 2, б —  $M_- = 2$ ,  $\beta_- = 3,33^\circ$ . Отношение  $\Sigma \equiv P_+/P_-$ , где  $P$  — давление торможения, для биплановой решетки несколько выше (0,932), чем для одиночной (0,926). Сравнивая эти величины, следует иметь в виду, что  $p_+/p_-$  в рассчитанных случаях также различаются. При получении результатов, представленных на фиг. 2, внутри решетки (правее  $ca^0$ ) использовался метод сквозного счета. Расчет одиночной решетки с числом ячеек поперек канала  $N = 30$ , что обеспечивает постоянство (при дальнейшем увеличении  $N$ ) не менее трех значащих цифр в  $\Sigma$  и в параметрах при  $n \rightarrow \pm\infty$ , требует на БЭСМ-6 2 мин. Аналогичный расчет биплановой решетки с  $N = 80$  в ее двух каналах требует не более 6 мин. В линейном приближении эти варианты считаются секунды при вполне приемлемой точности. Это подтверждает фиг. 3, на которой в типичном случае для двух сечений ( $x = x_c$  — кривые 1 и  $x = x_f$  — кривые 2) нанесены распределения  $p$ , найденные тремя способами: сплошные кривые — численным интегрированием по [13, 14], штриховые — по линейной теории с заменой  $p$  на  $\pi$  и пунктир — без такой замены ( $y^0$  — расстояние от нижнего профиля, отнесенное к высоте канала в данном сечении). Переход от  $p$  к  $\pi$  снижает погрешности линейной теории.

Развитые подходы и программы применимы и в случаях, когда  $M_n \equiv |V \sin \theta|/a > 1$  и поток перед фронтом решетки не возмущен, а также в аналогичных задачах о сверхзвуковом истечении из решеток плоских со-



пел. Если за решеткой  $M_n > 1$ , то течение в общем случае содержит скачки обоих семейств. После того как скачки становятся слабыми, их дальнейшее затухание, как и в [9, 11], описывается ПНА, волны разных семейств рассматриваются независимо, а суммарные распределения получаются их суперпозицией.

3. Не ограничиваясь далее режимами с  $M > 1$ , перейдем к законам подобия для стационарного обтекания решеток. В случае тонких профилей и не близких к единице  $M$  их вывод опирается на линейризацию уравнений и граничных условий. При этом для решетки достаточно рассмотреть полосу  $-\infty \leq x \leq \infty$ ,  $0 \leq y \leq y_{a0} = d \sin \gamma$ , ставя в дополнение к условию непротекания на профилях условие периодичности  $\varphi(x + x_{a0}, y_{a0}) = \varphi(x, 0)$  при  $x < 0$  и  $x > l$ , где  $\varphi$  — любой параметр, а  $x_{a0} = d \cos \gamma$ . Ограничимся аффинно подобными профилями:  $y = \tau l \Gamma_{\pm}(x^0)$ , где  $x^0 = x/l$ ,  $\tau$  — относительное отклонение образующих от хорды,  $\Gamma_{\pm}(x^0)$  — функции порядка единицы, знак плюс (минус) дает верхнюю (нижнюю) образующую профиля, расположенного у оси  $x$ , причем  $\Gamma_+(0) = \Gamma_-(0)$  и  $\Gamma_+(1) = \Gamma_-(1)$ . При обтекании с  $M > 1$  и  $M_{n-} < 1$  закон подобия, получающийся описанным выше способом, сводится к уравнениям

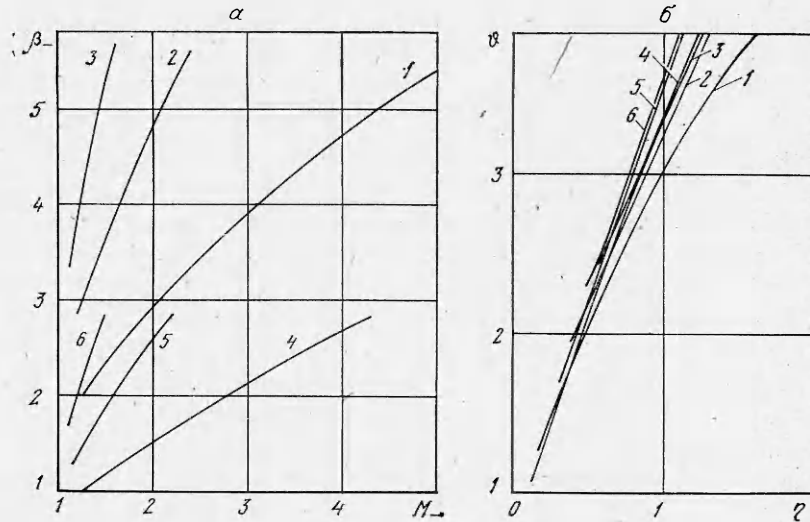
$$(3.1) \quad \begin{aligned} u' &= V_- \lambda^{-1} \tau u^0, & v &= V_- \tau v^0, & p' &= -\rho_- V_-^2 \lambda^{-1} \tau u^0, \\ \rho' &= a_-^2 p', & \varphi^0 &= \varphi^0(x^0, y^0, \xi, \eta, j), \\ X &= \rho_- V_-^2 \lambda^{-1} \tau^2 l X^0, & Y &= \rho_- V_-^2 \lambda^{-1} \tau l Y^0, \\ \Phi^0 &= \Phi^0(\xi, \eta, j), & \lambda &= \sqrt{M_-^2 - 1}, & y^0 &= y \lambda / l, \\ \xi &= x_{a0} / l, & \eta &= y_{a0} \lambda / l, & j &= J_{\pm}^+ / \tau_x \end{aligned}$$

где  $u$ ,  $v$  и  $X$ ,  $Y$  — проекции  $\mathbf{V}$  и силы, действующей на профиль, на оси  $x$  и  $y$ , а для  $u$ ,  $p$  и  $\rho$  принята запись  $u = u_- + u'$ , ..., причем в данном приближении  $u_- = V_-$ . На режимах запирания влияние параметра  $j$  ограничено слева скачком или характеристикой  $fe$ . На незапертых режимах с  $M_- > 1$ , когда указанный скачок уходит вверх по потоку (это имеет место для достаточно редких решеток),  $j$  влияет на все течение. При этом, однако, нет направляющего воздействия, и вместо  $j$  в качестве параметра подобия можно взять  $\vartheta = \beta_- / \tau$ . На запертых режимах в силу (3.1), а также линейризованных законов сохранения (1.13) с удовлетворениями (3.1) распределениями на переднем фронте имеем

$$(3.2) \quad \vartheta \equiv \beta_- / \tau \simeq v_- / (V_- \tau) = \varphi(\xi, \eta).$$

Для проверки (3.1) и (3.2) с помощью описанного в п. 1 подхода без использования линейризованных соотношений (1.14) были выполнены расчеты обтекания шести решеток с  $\xi = \sqrt{3}/2$  при разных  $M_-$ . Их результаты приведены на фиг. 4 ( $a$  — зависимости  $\beta_-$  в градусах от  $M_-$ ,  $b$  —  $\vartheta$  от  $\eta$ ). Цифрами помечены кривые, отвечающие решеткам с такими значениями  $\gamma$ ,  $d/l$  и  $\tau$ : 1 —  $16,1^\circ$ ; 0,9015; 0,025, 2 —  $30^\circ$ ; 1; 0,025, 3 —  $45^\circ$ ;  $\sqrt{3}/2$ ; 0,025, 4 —  $16,1^\circ$ ; 0,9015; 0,0125, 5 —  $30^\circ$ ; 1; 0,0125, 6 —  $45^\circ$ ;  $\sqrt{3}/2$ ; 0,0125. Видно, что (3.2) группирует кривые, относящиеся к разным решеткам, в пределах, не превышающих  $\pm 10\%$  по  $\vartheta$ .

Закон подобия (3.1), (3.2), полученный в линейном приближении, не обеспечивает подобия нелинейного затухания волновых структур вдали от решетки. Как можно показать в ПНА, для этого в дополнение к параметрам подобия из (3.1) требуется постоянство  $K_- = \lambda^2 (M_-^4 \alpha \tau)^{-2/3}$ , где  $\alpha$  — то же, что в (1.10). Данное условие получается из анализа уравнения, определяющего в ПНА наклон прямолинейных характеристик в плоскости  $x^0 y^0$ . В отличие от (3.1) через  $\alpha$  в  $K_-$  входят константы, характеризующие термодинамику среды. Для совершенного газа  $\alpha = 1 + \kappa$  и  $K_- = \lambda^2 [M_-^4 (1 + \kappa) \tau]^{-2/3}$ . На сверхзвуковых режимах с  $M_{n-} > 1$ , когда поток перед решеткой не возмущен,  $j$  в (3.1), как и на незапертых



Фиг. 4

режимах с  $M_{\infty} > 1$ , удобно заменить на  $\theta$ . Та же замена необходима (а не только удобна) при полностью дозвуковом обтекании. Кроме того, здесь  $\lambda = \sqrt{1 - M_{\infty}^2}$ . Соответствующий закон подобия, обобщающий закон подобия Прандтля — Глауэрта для одиночного профиля, известен [16]. Отметим, что при этом в силу парадокса Даламбера  $|X^0| = \theta|Y^0|$ .

Пусть теперь решетка обтекается трансзвуковым потоком. Поступая здесь так же, как в [17], найдем, что на незапертых режимах

$$(3.3) \quad u = a_* (1 + \tau^{2/3} \alpha^{-1/3} u^0), \quad v = a_* \tau v^0, \quad p = p_* - \rho_* a_*^2 \tau^{2/3} \alpha^{-1/3} u^0, \\ \rho = \rho_* (1 - \tau^{2/3} \alpha^{-1/3} u^0), \quad \Phi^0 = \Phi^0(x^0, y^0, \xi, \eta, K, \theta), \\ X = \rho_* a_*^2 \tau^{5/3} l X^0, \quad Y = \rho_* a_*^2 \tau^{2/3} l Y^0, \quad \Phi^0 = \Phi^0(\xi, \eta, K, \theta), \\ x^0 = x/l, \quad y^0 = y(\tau\alpha)^{1/3}/l, \quad \xi = x_{a0}/l, \quad \eta = y_{a0}(\tau\alpha)^{1/3}/l, \\ K = (M_{\infty} - 1)(\tau\alpha)^{-2/3}, \quad \theta = \beta_-/\tau$$

с  $\alpha$  из п. 1 (в [17] одно из выражений для  $\alpha$  неверно).

Если поток перед решеткой сверхзвуковой и  $M_n < 1$ , что на трансзвуковых режимах для  $\gamma < \pi/2$  обычно выполняется, то, как можно показать, (3.3) обеспечивает подобие ближних и дальних полей. На режимах запирания  $\theta$  становится функцией  $\xi, \eta$  и  $K$ , а  $X^0, Y^0$  и параметры за решеткой (справа от так называемого замыкающего скачка при  $M_{\infty} < 1$  и от  $fe$  в противном случае) — функциями не  $\theta$ , а  $\pi = (p_+ - p_*)\alpha^{1/3}/(\rho_* a_* \tau^{2/3})$  с заданным  $p_+$ . При сверхзвуковом истечении из решетки с  $M_n < 1$  параметр  $\pi$  можно заменить на  $j$  из (3.4). Хотя для расчета трансзвуковых режимов требуются подходы, отличные от развитых в п. 1 (см. [18]), сверхзвуковые дальние поля и здесь описываются ПНА.

Законы подобия (3.1) — (3.3) основаны на предположении о малости возмущений, нередко нарушающемся в некоторых локальных областях. На всех режимах таковыми являются окрестности затупленных передних кромок, а при до- и трансзвуковом обтекании — критических точек (включая задние кромки, обтекаемые по схеме Чаплыгина — Жуковского) и передних острых кромок. Здесь (3.1) и (3.3), естественно, не имеют места. Более того, если даже подобные особенности не влияют на поля параметров вдали от них, их воздействие на интегральные характеристики может быть заметным (например, из-за подсосывающей силы на передней кромке), вызывая отклонения по  $X$  и  $Y$  от (3.1) и (3.3).

Авторы признательны А. Б. Ватажину за совет включить в алгоритм линейное приближение и В. А. Вострецову за помощь в работе.



## ЛИТЕРАТУРА

1. Степанов Г. Ю. Гидродинамика решеток турбомашин. М.: Физматгиз, 1962.
2. Гродзовский Г. Л., Никольский А. А., Свищев Г. П., Таганов Г. И. Сверхзвуковые течения газа в перфорированных границах. М.: Машиностроение, 1967.
3. Lawaczeck O. K. Calculation of the flow properties up and downstream of and within a supersonic turbine cascade. Pap. ASME, 1972, N GT-47. Рус. пер. Расчет сверхзвукового течения через турбинную решетку.— Экспресс-информация. ВИНТИ. Сер. Поршневые и газотурбинные двигатели, 1973, № 3.
4. Lichtfuss H. J., Starken H. Supersonic cascade flow.— In: Progress Aerospace Sci. Vol. 15. Oxford e. a.: Pergamon Press, 1974.
5. Богод А. Б., Крайко А. Н., Черняк Е. Я. Исследование обтекания плоской решетки сверхзвуковым потоком идеального газа при дозвуковой «нормальной» компоненте на режимах с присоединенными скачками.— Изв. АН СССР. МЖГ, 1979, № 4.
6. York R. E., Woodard H. S. Supersonic compressor cascades-an analysis of the entrance region flow field containing detached shock waves.— Trans. ASME. Ser. A. J. Eng. Power, 1976, vol. 98, N 2.
7. Ландау Л. Д., Лифшиц Е. М. Механика сплошных сред. М.: Гостехиздат, 1953.
8. Уизем Дж. Линейные и нелинейные волны. М.: Мир, 1977.
9. Simons G. A. Decay of a diamond shock pattern.— AIAA J., 1972, vol. 10, N 8.
10. Fink M. R. Shock wave behavior in transonic compressor noise generation. Pap. ASME, 1971, N GT-7.
11. Крайко А. Н., Осипов А. А. Затухание периодической последовательности слабых ударных волн в каналах со «звукопоглощающими» стенками.— Изв. АН СССР. МЖГ, 1976, № 4.
12. Крайко А. Н., Ни А. Л. О приближении нелинейной акустики в задачах о колебаниях газа в трубах.— ПММ, 1980, т. 44, вып. 1.
13. Иванов М. Я., Крайко А. Н., Михайлов Н. В. Метод сквозного счета для двумерных и пространственных сверхзвуковых течений. I.— ЖВММФ, 1972, т. 12, № 2.
14. Годунов С. К., Забродин А. В., Иванов М. Я. и др. Численное решение многомерных задач газовой динамики. М.: Мир, 1976.
15. Крайко А. Н., Ткаленко Р. А. К построению линейной теории неравновесных и равновесных течений.— Изв. АН СССР. МЖГ, 1968, № 6.
16. Oswatitsch K. Grundlagen der Gasdynamik. Wien — New York: Springer-Verlag, 1976.
17. Крайко А. Н., Тагиров Р. К. К околозвуковому обтеканию тел вращения с протоком при наличии истекающей из протока струи.— Изв. АН СССР. МЖГ, 1974, № 6.
18. Messiter A. F., Adamson T. C. Jr. Transonic small-disturbance theory for lightly loaded cascades.— AIAA J., 1981, vol. 19, N 8.

Поступила 19/IX 1983 г.

УДК 532.517.6

### СМЕНА РЕЖИМА В ПЛОСКОЙ СТРУЕ СО СТУПЕНЧАТЫМ ПРОФИЛЕМ СКОРОСТИ

Е. П. Курочкина  
(Новосибирск)

В экспериментальных исследованиях на начальном участке струй наблюдаются течения с почти ступенчатым профилем скорости.

В данной работе теоретически анализируются устойчивость и характер ветвления вторичных режимов в плоской затопленной струе со ступенчатым профилем скорости. Кусочно-постоянный вид профиля позволяет большую часть выкладок выполнить аналитически. Установлен мягкий режим возбуждения, и рассчитана структура вторичного режима.

Методика расчета ветвления исходного ламинарного режима изложена в [1, 2]. Здесь используется плоскопараллельное приближение. В этом случае задача об устойчивости течения вязкой несжимаемой жидкости сводится к уравнению Орра — Зоммерфельда

$$(1) \quad L_{\alpha}\varphi = \varphi^{IV} - 2\alpha^2\varphi'' + \alpha^4\varphi - i\alpha\text{Re}[(U - C)(\varphi'' - \alpha^2\varphi) - U''\varphi] = 0,$$

где  $\varphi(y)$  — комплексная амплитуда функции тока;  $U(y)$  — профиль скорости потока;  $C = X + iY$  — искомое комплексное собственное значение